



الگوریتمی بر اساس اتماتای سلولی یادگیر برای بازیابی تصاویر تخریب شده

محمد رفیع خوارزمی **محمد رضا میبدی**

آزمایشگاه محاسبات نرم - دانشکده مهندسی کامپیوتر - دانشگاه صنعتی امیر کبیر

چکیده

در سالهای اخیر از تکنیکهای مختلف متکی بر تکرار برای حذف نویز از تصویر استفاده شده است. در این مقاله روشی بر اساس اتماتای سلولی یادگیر جهت حذف نویز تصویر پیشنهاد می شود. در این روش برای هر پیکسل با M سطح خاکستری یک اتماتای سلولی یادگیر با M اقدام در نظر گرفته می شود. این دسته از اتماتاها به صورت همیار و بر اساس یک الگوریتم یادگیری از پیش تعیین شده به سمت یک اقدام بهینه میل می کند. در این روش هر اتماتا سعی کند که هر پیکسل را با پیکسلی که بیشترین شباهت را با همسایگان خود دارد جایگزین کند و به طور همزمان علاوه بر ترمیم گستینگی ها و نقاط ریز خالی نقاط سیاه ریز پراکنده در تصویر را نیز حذف کند. در این مقاله کارانی روش پیشنهادی برای حذف نویز در تصاویر دو سطحی و سطح خاکستری را مورد بررسی قرار داده و عملکرد آن را با سایر روشهای غیر خطی مقایسه می کنیم.

کلمات کلیدی: اتماتای یادگیرنده، اتماتای یادگیرنده سلولی، پردازش تصاویر، بازیابی تصویر

۱- مقدمه

در مسئله بازیابی تصویر^۱، معمولاً فرایندی به صورت نویز تصادفی بر روی تصویر اصلی تاثیر گذاشته و باعث تضعیف آن می شود. روشهای مختلفی برای تخمین تصویر اولیه از تصویر تضعیف شده وجود دارد. یکی از این روشها استفاده از تخمین های آماری برای بدست آوردن یک جواب بهینه مناسب می باشد. در این تکنیکها سعی می شود با مینیمم کردن یکتابع انرژی احتمال توزیع تصویر ماقزیم شود. این تکنیکها ماقزیم کردن احتمال بعدی (MAP) ^۲ نامیده می شوند [Hurn96] [Gema84].

در این مقاله برای بدست آوردن تخمین تصویر از بهینه سازی تصادفی بوسیله مجموعه ای از اتماتاهای توزیع شده به نام اتماتای سلولی یادگیر که به صورت همیار با هم عمل می کنند استفاده شده است. این روش سعی می کند گستینگیها و جاهای خالی را پر کند یعنی نقاط سفید کوچک درون تصویر سیاه را به نقاط سیاه تبدیل کرده و همزمان نقاط سیاه کوچک درون زمینه سفید را حذف کند. چون این دو عمل به طور همزمان بر روی تصویر اعمال می شوند این روش باعث حفظ لبه ها می گردد. این روش در مورد تصاویر سطح خاکستری برخلاف فیلتر میانه که به جای هر پیکسل، میانه پیکسل همسایه و فیلتر مورفولوژی که ماقزیم می نمینیم پیکسل همسایه را جایگزین می کند سعی می کند به جای هر پیکسل پیکسلی را جایگزین کند که بیشترین مشابهت را به همسایه های خود داشته باشد. این عمل باعث می شود تصویر را یکنواخت کرده و توان نویز تصویر بازیابی شده را به میزان قابل توجه ای کاهش دهد.

اتماتای یادگیر سلولی ^۱ که اخیراً پیشنهاد شده است [Tahr2000][Mey2000]، مدلی برای سیستم هایی است که از اجزاء ساده ای تشکیل شده اند و رفتار هر جزء بر اساس رفتار همسایگانش و نیز تجربیات گذشته اش تعیین و اصلاح می شود. اجزاء ساده تشکیل دهنده این مدل، از طریق تعامل با یکدیگر می توانند رفتار پیچیده ای را از خود نشان دهند. هر اتماتا یادگیر سلولی، از یک اتماتای سلولی تشکیل شده است که هر سلول در آن به یک اتماتای یادگیر مجهز می باشد که وضعیت این سلول را مشخص می کند. مانند اتماتای سلولی [Wolf86]، قانونی محلی در محیط حاکم است و این قانون تعیین می کند که آیا عمل انتخاب شده توسط یک اتماتان در یک سلول باقیستی پاداش داده شود و یا جریمه شود. عمل دادن جریمه و پاداش منجر به بروز درآوردن ساختار اتماتای یادگیر سلولی بمنظور نیل به یک هدف خاص می گردد.

تکنیکهای پردازش تصویر و شناسائی الگو کاربردهای فراوانی در پژوهشی، صنعت و کنترل دارد [Chou94] ^۲ زمانی که کیفیت تصویر بدست آمده مناسب نباشد از تکنیکهای بازیابی تصویر برای تغییر تصویر استفاده می شود. هدف اصلی در بازیابی تصویر، پردازش تصویر به گونه ای باید باشد تا نتیجه بدست آمده برای یک کاربرد خاص از تصویر اصلی بهتر باشد. [Gonz95] در بهبود تصویر بدنیال بدست آوردن تصویر ^۳ یعنی حالت بهبود یافته تصویر ^۴ می باشیم. مدلهای آماری تصادفی در این زمینه کاملاً مورد توجه می باشد. مزیت اصلی روشهای بهینه سازی تصادفی نسبت به روشهای قطعی در این است که قادر می باشند از مقادیر ابتیم محلی عبور کنند.

انتخاب فرکانس خود مشخص می شوند که می توانند پائین گذر ، بالا گذر و یا باند گذر باشند. بیشترین توجه در این قسمت به استفاده از تبدیل فوریه سریع^۹ است که تبدیل فوریه گستره بر روی تصویر $N \times N$ محاسبه می شود. فیلترهای خطی با استفاده از کانولوشن دوتابع ساخته می شوند.

$$J = F^*G$$

که در آن F با خصیعت ضربه^{۱۰} فیلتر ، G تصویر اولیه و J تصویر بهبود یافته است. کانولوشن در معادله فوق می تواند در حوزه فرکانس و با تبدیل فوریه وسیع تبدیل معکوس فوریه بدست آید.

اگر تصویر با نویز سفید با میانگین صفر خراب شده باشد بهبود تصویر تبدیل به صاف کردن نویز^{۱۱} می شود. که معمولاً با اعمال یک فیلتر پائین گذر با پنهانی باند کافی امکان پذیر است. فیلترهای میانگین^{۱۲}، گوسی و فیلتر پائین گذر ایده ال از این دسته فیلترها هستند. فیلتر میانگین با میانگین گیری روی همسایگی هر پیکسل بدست می آید. که در واقع معادل کانولوشن یک کرنل جعبه ای شکل در معادله فوق است. همچنین فیلتر گوسی کانولوشن یک کرنل گوسی با تصویر اولیه است. و حسن آن این است که به نقاط نزدیکتر همسایگی وزن بیشتری می دهد. برای بدست آوردن یک فیلتر پائین گذر ایده ال می توان تبدیل فوریه تصویر اولیه را بعد از یک فرکانس خاص صفر در نظر گرفت. فیلترهای خطی برای بر طرف کردن ماتی تصویر نیز مناسب می باشند.

۳-۱- فیلترهای غیر خطی

فیلترهای غیر خطی برای رفع نواقص فیلترهای خطی طراحی می شوند. فیلترهای غیر خطی بوسیله کانولوشن نمی توانند پیاده سازی شوند. بنابراین نمی توانند یک تصحیح قابل پیش بینی روی فرکانشهای تصویر را فراهم سازند. اما این فیلترها می توانند کارائی مشخصه هایی را که قابل دسترسی با فیلترهای خطی نیستند را افزایش دهند. زیرا در خبلی از موقع فرکانس نویز از فرکانس تصویر قابل جداسازی نیست. فیلترهای غیر خطی معمولاً توسط عملیات محلی بر روی پنجره ای از پیکسلها تعریف می شوند. پنجره یا عناصر ساختاری^{۱۳} یک همسایگی محلی از پیکسلها مثلاً در محل (i,j) را شامل می شوند.

$$G_k(i,j) = \{ G(i-m, j-n) : (m, n) \in k \}$$

در اینجا k دامنه همسایگی را مشخص می کند. پیکسلهای خروجی در تصویر فیلتر شده به صورت تابع غیر خطی چند به یک از مجموعه پنجره ها بیان می شوند. بنابراین فیلترهای غیر خطی به صورت تابعی از تصویر و یک پنجره لغزان به صورت $J = F(G,k)$ تعریف می شوند. پنجره ها به شکل های گوناگون معمولاً به صورت متقارن هستند. اندازه پنجره میزان فیلتر کردن را تعیین می کند. پنجره های بزرگتر اندازه های بزرگتر را نشان داده و جزئیات ریز را حذف می کنند.

^۹ Fast fourier Transform -

^{۱۰} Impulse response -

^{۱۱} Noise smoothing -

^{۱۲} Average filter -

ادامه مقاله به شرح زیر است. در بخش ۲ تکنیکهای مختلف بازسایی تصویر را خواهیم دید. در بخش ۳ و ۴ به بررسی اتماتای یادگیر و اتماتای یادگیر سلولی می پردازیم و در انتها نتایج یافت آمده از اعمال روش پیشنهادی بر روی تصاویر مختلف را می بینیم. و آخرین قسمت نتیجه گیری می باشد.

۲- تکنیکها بهبود تصویر

یک تصویر دو بعدی سطح خاکستری دیجیتالی را به صورت یک ماتریس دو بعدی I در نظر می گیرند. هر نقطه از تصویر که به آن پیکسل^۱ می گویند به صورت $(j,i) = 0, \dots, N-1$ شدت سطح خاکستری را مشخص می کند. معمولاً پیکسلها شدت نور را بیان می کنند گرچه ممکن است مشخصه های دیگری نظری سیگنال را دارند. شدت تابش، شدت اشعه ایکس و پا تشعیش حرارتی را شامل شوند. روش‌های مختلفی برای بهبود تصویر وجود دارد از جمله دو روش ساده بهبود تصویر عبارت از تصحیح هیستوگرام تصویر و اعمال فیلترهای دیجیتالی می باشند. روش‌های پیچیده تر شامل بهبود خصوصیات تصویر نظری تصحیح ضرائب یک تبدیل خطی در فضای دیگر است. در ادامه این قسمت به بررسی روش‌های مختلف بهبود تصویر نظری عملیات نقطه ای و فیلترهای خطی و غیر خطی می پردازیم.

۲-۱- عملیات نقطه ای^۵

معمولآ تصاویر بدست آمده از عکس برداری یا اسکنرها یا سایر سنسورها بدليل کنتراست پائین دارای کیفیت مطلوب نمی باشند. تصاویر ممکن است از نور زیاد^۶ یا نور کم^۷ رنج ببرند. یکی از روش‌های اصلی بهبود تصویر عملیات نقطه ای است که در آن هر پیکسل تبدیل فقط تابعی از همان پیکسل تصویر قبلی است. که می توان به شکل زیر بیان کرد

$$J(i,j) = F(I(i,j))$$

یکی از این روشها عمل باز کردن کنتراست^۸ خطی است. که در آن سعی می شود دامنه سطح خاکستری استفاده شده در تصویر افزایش یابد. در این روش اگر a مینیمم و b ماکزیمم شدت سطح خاکستری در تصویر I باشد در آنصورت خواهیم داشت.

$$J(i,j) = \frac{k-1}{b-a} [I(i,j) - a]$$

۲-۲- فیلترهای خطی

فیلترهای خطی از همان خصوصیات فیلترهای خطی کلاسیک که در کنترل و مهندسی الکترونیک به کار می روند تبعیت می کنند. فیلترهای خطی با استفاده از کانولوشن خطی در حوزه فضا و با ضرب نقطه ای در حوزه فرکانس می توانند پیاده سازی شوند. فیلترهای خطی با نحوه

^۴ Pixel -

^۵ Point operation -

^۶ Overexposure -

^۷ Underexposure -

$$G \bullet K = (G \oplus K) \ominus K$$

و اگر بر عکس ابتدا عمل فرسایش و سپس اتساع را روی تصویر انجام دهیم فیلتر باز ^{۲۰} حاصل می شود.

$$G \circ K = (G \ominus K) \oplus K$$

فیلتر باز نقاط ریز روشن را حذف کرده بنابراین سعی می کند مناطقی را که اتصال ضعیف دارند از هم جدا می کند. در صورتی که فیلتر بسته نقاط تاریک کوچک را حذف کرده بنابراین نقاط با اتصال ضعیف را به هم وصل می کند. برای بدست آوردن فیلتر میانه با فیلترهای مورفولوژی عملیات باز و بسته کردن به صورت پشت سرهم انجام می شود.

۵-۲ - ویولت انقباطی ^{۲۱}

از ویولتها اخیراً به عنوان ابزار قدرتمند برای تخمین سیگنال و حذف نویز استفاده شده است تخمین ویولت انقباطی با اعمال یک سطح آستانه به ضرائب ویولت مخاسبه می شود.

$$J = IDWT[f(DWT[G])]$$

که در آن DWT تبدیل گستته ویولت و IDWT معکوس تبدیل گستته ویولت و $[f]$ یکتابع تبدیل می باشدند. تابع $[f]$ با دو قانون سطح آستانه سخت و نرم تعریف می شود.

$$f[x] = \begin{cases} x, & \text{if } |x| > t \\ 0, & \text{otherwise} \end{cases}$$

$$f[x] = \begin{cases} x - t, & \text{if } x > t \\ 0, & \text{if } |x| \leq t \\ x + t, & \text{if } x < -t \end{cases}$$

سطح آستانه t با توجه به واریانس نویز و اندازه تصویر تعیین می شود. ایده اصلی ویولت انقباطی در خاصیت تقریب ویولت نهفته است. DWT تصویر را به تعداد محدودی از ظرائب ویولت با اندازه بزرگ فشرده می سازد که بیشترین انرژی تصویر در این ظرائب نهفته است. در صورتی که ظرائب نویز بسیار کوچک بوده و انرژی نویز بین تعداد زیادی از ظرائب توزیع شده است. بنابراین با اعمال یک سطح آستانه مناسب مقدار زیادی از نویز حذف شده و بیشتر انرژی تصویر حفظ می شود. گرچه ابتدا تکنیک ویولت انقباطی برای تضعیف نویز گوسی پیشنهاد شد اما برای حذف سایر انواع نویز نیز به کار می روند.

۶-۲ - فیلتر های همربختی ^{۲۲}

کلیه فیلتر های ذکر شده قادر به حذف نویز اضافه شده به تصویر می باشند. اما در بسیاری از تصاویر نویز وابسته به تصویر است که به صورت زیر مدل می شود

$$G = N * I$$

که $*$ ضرب نقطه به نقطه است. در اینگونه موارد استفاده از فیلتر های پائین گذر معمولی و یا فیلتر های غیر خطی مفید نخواهد بود. اولین قدم

۴-۲ - فیلترهای آماری مرتب ^{۱۴} و مورفولوژی تصویر ^{۱۵}

از میان فیلترهای غیر خطی ، فیلترهای آماری مرتب مجموعه ای از فیلترهای مؤثر در بهبود تصویر می باشند [Pita86] فیلترهای مرتب بر اساس ترتیب پیکسلهای همسایه بنا نهاده شده اند. در پیکسل (i,j) در تصویر G و با پنجره K به طول $2m+1$ پیکسل مجموعه آماری مرتب با معادله زیر تعریف می شود.

$$J(i,j) = A(1)G_1^{\otimes}(i,j) + A(2)G_2^{\otimes}(i,j) + \dots + A(2m+1)G_{2m+1}^{\otimes}(i,j)\}$$

که در آن A بردار ضرائب است که وزن هر پیکسل را مشخص می کند و $G_k^{\otimes}(i,j)$ همان مقادیر تصویر اولیه در پنجره می باشند که به صورت از کمترین به بیشترین مرتب شده اند. از این دسته فیلترها ، فیلتر میانه مشهورترین آنها است که به شکل زیر ساخته می شود.

$$J(i,j) = G_{(i,j)}^{\otimes}(m+1)$$

با در نظر گرفتن یک پنجره به طول $2m+1$ پیکسل، هر پیکسل با پیکسل میانه پنجره جایگزین می شود. فیلتر میانه نویز سفید اضافه شده را از بین برد و لبه ها را حفظ می کند. این خصوصیت آن را از فیلترهای خطی تمایز می کند. فیلتر میانه نویز ضریب ای و نویز با توزیع لایلاسی را به خوبی حذف می کند.

دسته دیگر فیلترهای آماری مرتب فیلترهای مورفولوژی هستند که شدت تصویر را مورد برداش قرار داده و معمولاً فیلترهای تغیر دهنده شکل ^{۱۶} نامیده می شوند. مورفولوژی تصویر از زمینه های رو به رشد در برداش تصویر می باشد که با ترکیب مجموعه ای از فیلترهای آماری مرتب انواع تکنیکهای پردازش تصویر حاصل می شود. انواع فیلترهای مورفولوژی از دو فیلتر یا یه فرسایش ^{۱۷} و اتساع ^{۱۸} وجود می آیند. فرسایش تصویر G با عنصر ساختاری K به صورت زیر تعریف می شود.

$$J(i,j) = G_{(1)}^{\otimes}(i,j)$$

اتسع تصویر G با عنصر ساختاری K به صورت زیر تعریف می شود.

$$J(i,j) = G_{(2m+1)}^{\otimes}(i,j)$$

فرسایش تصویر G با K را به صورت $G \bullet K$ و اتساع $G \oplus K$ به صورت $G \oplus K$ نشان می دهد. عملیات فرسایش و اتساع به تنها ی مفید نمی باشند زیرا آنها بایاس شده اند و شکل را حفظ نمی کنند اما با نرکیب آنها دو فیلتر دیگر بدست می آید. اگر ابتدا عمل اتساع و سپس فرسایش را روی تصویر انجام دهیم فیلتر بسته ^{۱۹} بدست می آید.

^{۱۴} order static Filter -

^{۱۵} Image Morphology -

^{۱۶} Shape Changing -

^{۱۷} Erosion -

^{۱۸} Dilation -

Krylov, Krinsky, $G_{2N,2}$, $L_{2N,2}$
بعدی می نگارد. اتماتا های $\alpha = \{\alpha_1, \alpha_2, \dots, \alpha_r\}$
از این دسته می باشند

۴-۳- اتماتای یادگیر با ساختار متغیر^۳: اتماتای یادگیر با ساختار متغیر توسط^۴ تابی α, β, p, T تعریف می شود که $\alpha = \{\alpha_1, \alpha_2, \dots, \alpha_r\}$ مجموعه عمل های اتماتا، $\beta = \{\beta_1, \beta_2, \dots, \beta_m\}$ مجموعه ورودیهای اتماتا، $p(n+1) = T[\alpha(n), \beta(n), p(n)]$ بردار احتمال و α در مرحله n انتخاب شود و پاسخ مطلوب از محیط دریافت نماید، احتمال p_i افزایش و سایر احتمالها کاهش می یابند. برای پاسخ نامطلوب p_i کاهش و سایر احتمالها افزایش می یابند. در هر حال، تغییرات بگونه ای صورت می پذیرد که حاصل جمیع p_i ها همواره ثابت و مساوی یک باقی بماند. الگوریتم زیر یک نمونه از الگوریتم یادگیری خطی می باشد [Nare89].

الف- پاسخ مطلوب

$$p_i(n+1) = p_i(n) + a[1 - p_i(n)] \\ p_j(n+1) = (1-a)p_j(n) \quad \forall j \neq i$$

ب- پاسخ نامطلوب

$$p_i(n+1) = (1-b)p_i(n) \\ p_j(n+1) = \frac{b}{r-1} + (1-b)p_j(n) \quad \forall j \neq i$$

در روابط فوق، a پارامتر پاداش و b پارامتر جریمه می باشد. با توجه به مقادیر a و b سه حالت زیر را می توان در نظر گرفت.
 الف- زمانیکه a و b با هم برابر باشند، الگوریتم را L_{RP} مینامیم.
 ب- زمانیکه a از b خیلی کوچکتر باشد، الگوریتم را L_{RQ} مینامیم.
 پ- زمانیکه b مساوی a باشد، الگوریتم را L_{RI} مینامیم.
 برای مطالعه بیشتر درباره اتماتا های یادگیر می توان به [Mars96] [Nare89] [Meyb84] [Laks81] مراجعه نمود.

۴- اتماتای یادگیر سلولی

اتماتای یادگیر سلولی مدلی برای سیستم هایی است که از اجزاء ساده ای تشکیل شده اند و رفتار هر جزء بر اساس رفتار همسایگانش و نیز تجربیات گذشته اش تعیین و اصلاح می شود. اجزاء ساده تشکیل دهنده این مدل، از طریق تعامل (فعل و انفعال)، با یکدیگر می توانند رفتار پیچیده ای را از خود نشان دهند. هر اتماتای یادگیر سلولی، از یک اتماتای سلولی تشکیل شده است که هر سلول در آن به یک (یا چند) اتماتای یادگیر مجهز می باشد که وضیت این سلول را مشخص می کند. مانند اتماتای سلولی، قانونی محلی F بر اتماتای یادگیر سلولی حاکم است که تعیین می کند که ایا عمل انتخاب شده توسط یک اتماتا در یک سلول باقیستی پاداش داده شود و یا جریمه شود. عمل دادن جریمه و پاداش منجر به بروز دراودن ساختار اتماتای یادگیر سلولی بمنظور نیل به یک هدف مشخص میگردد.

Variable Structure	^{۲۹}
Linear Reward Pealty	^{۳۰}
Linear Reward Epsilon Penalty	^{۳۱}
Linear Reward Inaction	^{۳۲}

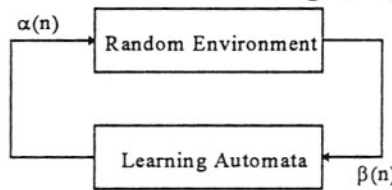
در طراحی فیلتر های هم ریختی انجام عملیات نقطه ای لگاریتمی بر روی تصویر است.

$$G(i,j) = \log[G(i,j)]$$

چون $\log[G(i,j)] = \log[I(i,j)] + \log[N(i,j)]$ می باشد بنابراین نویز وابسته به سیگنال دوباره به صورت نویز افزایشی تبدیل شده است که اکنون می توان به کمک یکی از فیلتر های بالا آن را حذف کرد.

۳- اتماتان یادگیر

۳-۱- اتماتای یادگیر: اتماتای یادگیر یک مدل انتزاعی است که تعداد محدودی عمل را می تواند انجام دهد. هر عمل انتخاب شده توسط محیطی احتمالی ارزیابی می گردد و پاسخی به اتماتای یادگیر داده می شود. اتماتای یادگیر از این پاسخ استفاده نموده و عمل خود برای مرحله بعد انتخاب می کند [Mars96] [Nare89]. شکل ۱ ارتباط بین اتماتون یادگیر و محیط را نشان می دهد.



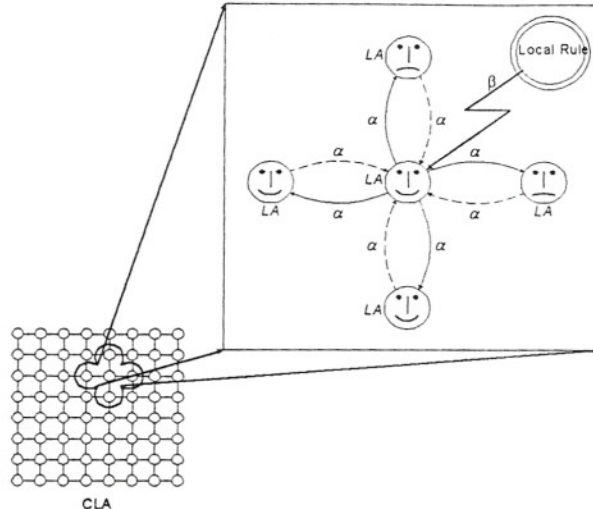
شکل ۱: ارتباط بین اتماتا یادگیر و محیط

۳-۲- محیط^{۳۳}: محیط را می توان توسط سه تابی $E = \{\alpha, \beta, c\}$ نشان داد که در آن $\alpha = \{\alpha_1, \alpha_2, \dots, \alpha_r\}$ مجموعه ورودیها، $\beta = \{\beta_1, \beta_2, \dots, \beta_m\}$ مجموعه خروجها و $c = \{c_1, c_2, \dots, c_s\}$ مجموعه احتمالهای جریمه می باشد. هرگاه β مجموعه دو عضوی باشد، محیط از نوع P می باشد. در چنین محیطی $\beta_1 = \beta_2 = 0$ به عنوان جریمه و $\beta_2 = 1$ به عنوان پاداش در نظر گرفته می شود. در محیط از نوع Q ، $\beta(n)$ می تواند بطور گسته یکی از مقادیر محدود در فاصله $[0,1]$ را اختیار کند و در محیط از نوع S ، $\beta(n)$ متغیر تصادفی در فاصله $[0,1]$ است.

۳-۳- احتمال آینکه عمل α نتیجه نامطلوب^{۴۴} داشته باشد می باشد. در محیط ایستا^{۵۵} مقادیر β بدون تغییر باقی می مانند، حال آنکه در محیط غیر ایستا^{۶۶} این مقادیر در طی زمان تغییر می کنند. اتماتاهای یادگیر به دو گروه با ساختار ثابت و با ساختار متغیر تقسیم می گردند در این مقاله از اتماتای با ساختار متغیر استفاده شده است.

۳-۴- اتماتای یادگیر با ساختار ثابت^{۷۷}: اتماتای یادگیر با ساختار ثابت توسط ۵ تابی $\alpha, \beta, F, G, \phi$ نشان داده شود که در آن $\alpha = \{\alpha_1, \alpha_2, \dots, \alpha_r\}$ مجموعه عمل های^{۸۸} اتماتا، $\beta = \{\beta_1, \beta_2, \dots, \beta_m\}$ مجموعه ورودیهای اتماتا، $\phi = \{\phi_1, \phi_2, \dots, \phi_s\}$ مجموعه وضعیت های داخلی اتماتا، $\phi \times \beta \rightarrow F: \phi \rightarrow \beta$ تابع تولید وضعیت جدید اتماتا و $\alpha \rightarrow G: \phi \rightarrow G$ تابع خروجی که وضعیت کنونی را به خروجی

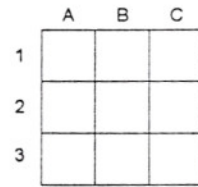
Environment	^{۲۳}
Unfavorable	^{۲۴}
Stationary	^{۲۵}
Non-Stationary	^{۲۶}
Fixed Structure	^{۲۷}
Actions	^{۲۸}



شکل ۳: اتوماتی یادگیر سلوی (CLA)

قوانين در اتوماتی یادگیر سلوی به سه دسته *totalistic*, *general* و *outer totalistic* تقسیم می‌گردد.^{[Wolf86][Mitc96][Pack85]} قوانین *general* مقدار یک سلوول در مرحله بعدی به مقادیر همسایه‌های آن سلوول بستگی دارد. در قوانین *totalistic* مقدار یک سلوول تنها به مجموع همسایه‌های آن سلوول بستگی دارد و در قوانین *outer totalistic* مقدار هر سلوول هم به مجموع سلولهای همسایه و هم به خود سلوول بستگی دارد.

قوانين *General*: برای قوانین *general* نحوه نامگذاری سلولهای بر اساس شکل ۴ می‌باشد:



شکل ۴: نحوه نامگذاری سلولهای

برای قوانین *general* تعریف شده در زیر هر اتوماتان در CLA دارای دو عمل می‌باشد. اگر اتوماتان عمل α_1 را انتخاب نماید سلوول ان اتوماتا بصورت پر و اگر اتوماتا عمل α_2 را انتخاب نماید سلوول ان اتوماتا بصورت خالی نشان داده خواهد شد. برای آشنایی با قوانین *general* چند نمونه از این قوانین در زیر آمده است.

قانون *And All*: در این قانون زمانی به عمل انتخاب شده توسط اتوماتا پاداش داده می‌شود که خود اتوماتا و تمام همسایه‌اش عمل α_1 را انتخاب کرده باشند و در غیر اینصورت عمل انتخاب شده توسط اتوماتا جریمه می‌شود. قانون *And All* بصورت زیر بیان می‌شود.

AND(A1,A2,A3,B1,B2,B3,C1,C2,C3)

با توجه به اینکه ارزش عبارت منطقی فوق ورودی اتوماتا می‌باشد (برای ارزیابی عبارت منطقی فوق سلوول پر TRUE و سلوول خالی در FALSE در نظر گرفته شده است) میتوان قانون فوق را بصورت دیگری نیز بیان کرد. بر اساس قانون فوق اگر یک اتوماتا در CLA عمل α_1 را انتخاب کند ان عمل قطعاً جریمه خواهد شد و اگر یک اتوماتا در CLA عمل α_2 را انتخاب کند و همچنین تمام اتوماتاهای همسایه این اتوماتا عمل α_1 را انتخاب کرده باشند عمل انتخاب شده توسط این اتوماتا یعنی عمل α_2 را پاداش خواهد گرفت و در غیر این صورت جریمه می‌گردد.

یک اتوماتی یادگیر سلوی بصورت پنج تابی $\Lambda, A, \Omega, \Phi, L >$ نشان داده می‌شود. $\{\lambda_1, \lambda_2, \dots\} = \Lambda$ مجموعه سلولهای موجود در اتوماتی یادگیر سلوی می‌باشد که در یک شبکه کارتزین قرار گرفته‌اند. $\{a_1, a_2, \dots\} = A$ مجموعه اعمال مجاز یک اتوماتی یادگیر سلوی در یک سلوول است. $(\lambda, a) \in A'$ عمل انجام گرفته در سلوول λ در زمان t را نشان می‌دهد و F قانون حاکم بر اتوماتی یادگیر سلوی می‌باشد. $\{\Omega_1, \Omega_2, \dots, \Omega_t, \dots\} = \Omega$ مجموعه سلولهای همسایه $L = \{L_1, L_2, \dots, L_t, \dots\}$ یک سلوول در اتوماتی یادگیر سلوی بوده و $\lambda \in \Omega$ مجموعه اتوماتاهای یادگیری است که هر سلوول به آنها مجهز می‌باشد. (λ, Ω) سلولهای همسایه سلوول λ بوده که دارای دو خصوصیت زیر می‌باشد:

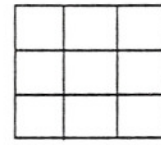
$$1) \lambda_i \notin \Omega(\lambda_i) \quad \forall \lambda_i \in \Delta$$

$$2) \lambda_i \in \Omega(\lambda_j) \text{ iff } \lambda_j \in \Omega(\lambda_i) \quad \forall \lambda_i, \lambda_j \in \Delta$$

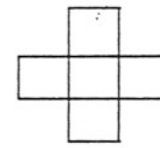
فرض می‌کنیم که $\{\lambda_i\} \subset \Omega(\lambda_i) = \Omega(\lambda_i) = W(\lambda_i)$ باشد. در آنصورت، قانون حاکم بر سیستم میتواند بصورت تابعی بشكل زیر تعریف شود:

$$A^{t+1}(\lambda_i) = \Phi\{A^t(x) | x \in W(\lambda_i)\}$$

در اتوماتی یادگیر سلوی میتوان از ساختارهای زیادی برای همسایگی استفاده نمود که دو نمونه از آنها در شکل زیر نشان داده شده است. در این مقاله تنها از همسایگی Moore استفاده شده است. در این همسایگی برای هر سلوول مرکزی هشت سلوول اطراف از بعنوان همسایه در نظر گرفته می‌شود.



Moore



von Neuman

شکل ۲: انواع همسایگی‌های مهم در اتوماتی سلوی

عملکرد اتوماتی یادگیر سلوی را می‌توان بصورت زیر شرح داد. در ابتدا هر اتوماتی یادگیر در اتوماتی یادگیر سلوی یکی از اعمال از مجموعه اعمال خود را انتخاب می‌کند. این عمل می‌تواند بر اساس مشاهدات قبلی و یا بصورت تصادفی انتخاب شود. عمل انتخاب شده با توجه به اعمال انتخاب شده توسط سلولهای همسایه و قانون حاکم بر اتوماتی یادگیر سلوی پاداش داده می‌شود و یا جریمه می‌گردد. با توجه به اینکه عمل انتخاب شده پاداش گرفته و یا جریمه شده است ساختار داخلی اتوماتا بروز می‌گردد. عمل بروز در اوردن تمام اتوماتاهای یادگیر سلوی بصورت همزمان انجام می‌شود. بعد از بروز در اوردن هر اتوماتا در اتوماتی یادگیر سلوی دوباره یک عمل از مجموعه اعمال خود را انتخاب و انجام میدهد. نتیجه عمل منجر به دادن پاداش و یا جریمه به ان عمل می‌گردد. فرایند انتخاب عمل و دادن پاداش یا جریمه تا زمانیکه سیستم به یک حالت پایدار برسد و یا یک معیار از قبل تعیین شده ای برقرار شود در اتوماتی یادگیر سلوی توسط الگوریتم یادگیری انجام می‌گیرد.

شکل ۳ اتوماتی یادگیر سلوی را نشان می‌دهد که در آن از همسایگی von Neumann استفاده شده است. در این شکل، اتوماتاهای هایی که خوشحال هستند در مرحله قبل پاداش و اتوماتاهایی که ناراحت هستند در مرحله قبل جریمه دریافت کرده‌اند.

اتوماتا در مرحله بعد بستگی به مقدار اتماتاهای همسایه دارد. در ادامه به تشریح قانون حاکم بر هر اتوماتا می پردازیم.
اگر در نظر بگیریم که تصویر اصلی و تخریب شده با یک میدان تصادفی به صورت $\{X_{i,j} : (i,j) \in L\}$ و $\{Y_{i,j} : (i,j) \in L\}$ توصیف شده باشد که در آن L یک ماتریس $N \times N$ و Z_N یک متغیر تصادفی بیان کننده سطح خاکستری پیکسل (i,j) باشد در آن صورت می توان آن را به صورت میدان تصادفی گیز^{۲۳} مدل نمود [Besa86]. در این مدل هر پیکسل دارای k حالت متفاوت است و احتمال مشاهده تصویر تخریب شده برابر $P(Y/X) = \prod_{i,j \in L} p(y_{i,j} / X_{i,j})$ خواهد بود. اگر احتمال عدم تخریب هر پیکسل را ρ فرض کنیم آنگاه خواهیم داشت

$$p(y_{i,j} = k / X_{i,j} = k') = \begin{cases} \rho & k = k' \\ \frac{1-\rho}{M-1} & k \neq k' \end{cases}$$

که در آن $0 \leq \rho \leq 1$ و $k, k' \in M$ می باشند. معنی رابطه بالا این است که هر پیکسل با احتمال ρ تغییر خواهد کرد و با احتمال $\frac{1-\rho}{M-1}$ تخریب خواهد شد.

اگر تصویر اصلی X توسط نویز نرمال \mathcal{N} بامیانگین صفر و واریانس σ^2 تغییر یافته و تصویر تخریب شده $Y = X + \eta$ حاصل شده باشد، اکنون هدف بست آوردن تخمین مناسب از تصویر Y به گونه ای است که کمترین تغییر را نسبت به X داشته باشد. برای بست آوردن این تخمین، از تخمین MAP که معادل مینیمم کردن یکتابع انرژی که به صورت زیر تعریف می شود استفاده می شود.

$$H(X) = ||Y - X||^2 + \Phi(X)$$

مینیمم کردن نابع از مقدار ماتریس Φ کردن احتمال $P(X/Y)$ خواهد بود [Gema92]. نشان داده شده است که این احتمال را می توان به صورت زیر محاسبه نمود [Zha089]

$$P(X/Y) = \sum_{N \times N} p(y/x)p(x)$$

اکنون هر کدام از مقادیر سمت راست قابل محاسبه می باشد.

$$P(Y/X) = \rho^{\sum_N \sum_N \delta(y_{i,j}, X_{i,j})} \left(\frac{1-\rho}{M-1} \right)^{\sum_N \sum_N (1-\delta(y_{i,j}, X_{i,j}))}$$

و

$$P(x) = \frac{\exp(-\frac{1}{T(k)} U(X_{i,j}))}{\sum_{m=1}^M \exp(-\frac{1}{T(k)} U(m))}$$

و

لازم بذکر است که برای قوانین general مقدار True برای یک قانون پاسخ مناسب محیط تعبیر میشود.
قانون *All Or*: در این قانون زمانی به عمل انتخاب شده توسط اتوماتا پاداش داده می شود اگر حداقل یکی از ۹ اتوماتاهای همسایه اش عمل α_1 را انتخاب کرده باشد و در غیر اینصورت ان عمل جرمیه می شود. قانون *Or All* بصورت زیر بیان میشود
OR(A1,A2,A3,B1,B2,B3,C1,C2,C3)
به بیان دیگر بر اساس قانون فوق اگر یک اتوماتا در CLA عمل α_1 را انتخاب کند ان عمل قطعاً پاداش خواهد گرفت. اگر یک اتوماتا در CLA عمل α_2 را انتخاب کند و حداقل یکی از اتوماتاهای همسایه این اتوماتا عمل α_1 را انتخاب کرده باشد عمل انتخاب شده توسط این اتوماتا پاداش خواهد گرفت و در غیر اینصورت جرمیه می شود.

قوانين Totalistic: این دسته از قوانین همانند نوع مشابه خود در اتوماتای سلوی میباشند با این تفاوت که از نتیجه قانون برای دادن پاداش یا جرمیه استفاده می گردد. این قانون بصورت $N \times M$ نشان داده میشود که $N = \{N_1, N_2, \dots\}$ و $M = \{M_1, M_2, \dots\}$ میباشد و بصورت زیر تفسیر میگردد.

اگر اتوماتای سلوی مرکزی عمل α_1 را انتخاب نماید و تعداد اتوماتاهای همسایه که عمل α_1 را انتخاب کرده باشند متعلق به مجموعه M باشد اتوماتای مرکزی جرمیه و در غیر اینصورت پاداش داده خواهد شد. اگر اتوماتای سلوی مرکزی عمل α_2 را انتخاب نماید و تعداد اتوماتاهای همسایه که عمل α_1 را انتخاب کرده باشند متعلق به مجموعه N باشد اتوماتای مرکزی جرمیه و در غیر اینصورت پاداش داده خواهد شد. این دسته از قوانین **Totalistic** در زیر شرح داده میشود.

قانون ۱۲۳۴۵۶۷-۸۹: این قانون بصورت زیر بیان شود. اگر اتوماتای مرکزی عمل α_1 را انتخاب نماید و تعداد اتوماتاهای همسایه که عمل α_1 را انتخاب کرده باشند بزرگتر یا مساوی ۱ باشد (متعلق به مجموعه M باشد). اتوماتای مرکزی جرمیه و در غیر اینصورت پاداش داده خواهد شد. اگر اتوماتای سلوی مرکزی عمل α_2 را انتخاب نماید و تعداد اتوماتاهای همسایه که عمل α_1 را انتخاب کرده باشند کوچکتر یا مساوی ۷ باشد (متعلق به مجموعه N باشد) اتوماتای مرکزی جرمیه و در غیر اینصورت پاداش داده خواهد شد.

ویژگی های اساسی اتوماتای یادگیر سلوی طرح شده در این مقاله عبارتند از: فضا و زمان بصورت گسته می باشند، بروز در آوردن اتوماتا های یادگیر در سلووها بشکل همگام صورت می پذیرد، اتوماتا های یادگیر تخصیص داده شده به سلووها یکسان می باشند و هر یک دارای M اقدام میباشد، قوانین بطور قطعی اعمال می شوند و قانون در هر سلوی فقط بستگی به اعمال انتخاب شده توسط همسایه های آن سلوی دارد. برای اطلاعات بیشتر درباره اتوماتای یادگیر سلوی و کاربردهای آن می توان به مراجع [Tahr2000][Meyb2000] مراجعه نمود.

۵-کاربرد اتوماتای یادگیر سلوی برای بازیابی تصاویر سطح خاکستری و دو سطحی

برای بازیابی تصاویر تخریب شده شبکه ای از اتوماتای سلوی یادگیر در نظر می گیریم. به هر اتوماتا یک پیکسل از تصویر را نسبت می دهیم و مجموعه اقدامهای اتوماتا متتلذر با سطوح خاکستری تصویر خواهد بود. قانون حاکم بر هر اتوماتا از نوع قانون general می باشد. یعنی اقدام هر

برای تصاویر دو سطحی نقاط سیاه $p1=0.8$ و $p2=0.2$ و برای نقاط سفید $p1=0.2$ و $p2=0.8$ میباشد.

۶- نتایج شبیه سازی :

در این مقاله بازیابی تصویر تخریب شده با نویز فلفل - نمکی و نویز اضافه شده با توزیع نرمال بوسیله اتماتای یادگیر سلوی مورد بررسی قرار گرفته است . برای نشان دادن کارائی اتماتای سلوی پیشنهادی در بازیابی تصویر تخریب شده ، میزان کاهش نویز در آن را با روش‌های دیگر مورد بررسی قرار می دهیم. به همین منظور نسبت توان نویز خروجی به توان نویز ورودی که به صورت زیر تعریف می شود را برای روش‌های مختلف محاسبه کرده و مقایسه می کنیم.

$$NR = 10 \log \frac{\sum_{i=1}^M \sum_{j=1}^N (d(i,j) - x(i,j))^2}{\sum_{i=1}^M \sum_{j=1}^N (y(i,j) - xi,j))^2}$$

که در آن $(i,j)x$ تصویر اصلی و $(i,j)y$ تصویر تخریب شده و $d(i,j)$ تصویر فیلتر شده می باشد.

همانگونه که در شکل‌های ۵ تا ۱۴ مشاهده می شود عملکرد اتماتای سلوی یادگیر در حذف نویز فلفل - نمکی در تصاویر دو سطحی و خاکستری بهتر از عملکرد دو فیلتر دیگر می باشد. زیرا این روش سعی می کند گستینگها و جاهای خالی را پر کند یعنی نقاط سفید کوچک درون تصویر سیاه را به نقاط سیاه تبدیل کرده و همزمان نقاط سیاه کوچک درون زمینه سفید را حذف کند. چون این دو عمل به طور همزمان بر روی تصویر اعمال می شوند این روش باعث حفظ لبه ها می گردد. ولی مانند فیلتر میانه و مورفولوژی ممکن است باعث حذف خطوط باریک ویا لبه های خیلی تیز گردد. این روش در مورد تصاویر سطح خاکستری برخلاف فیلتر میانه که به جای هر بیکسل ، میانه بیکسل همسایه و فیلتر مورفولوژی که ماکریزم یا مینیمم پیکسل همسایه را جایگزین می کند سعی می کند به جای هر بیکسل پیکسلی را جایگزین کند که بیشترین مشابهت را به همسایه های خود داشته باشد. بنابراین همانگونه که در شکل‌های ۱۶ تا ۲۴ و هیستوگرام شکل‌های ۲۵ و ۲۶ نشان داده شده است تصویر را یکنواخت کرده و توان نویز تصویر بازیابی شده را به میزان قابل توجه ای کاهش می دهد. میزان کاهش توان نویز تصویر تضعیف شده به نویز تصویر فیلتر شده در جدول ۱ نشان داده شده است.

جدول ۱: میزان کاهش توان نویز به دسی بل برای انواع فیلترها

تصویر	اتوماتای سلوی یادگیر	فیلتر میانه	فیلتر
			مورفولوژی
آچار	۰/۱۹	۱۲/۳۲	۱۲/۳۲
متن دو سطحی	۱۸/۴۳	۹/۳۵	۷/۸۹
متن چهار سطحی	۱۱/۲۴	۴/۷۵	۵/۸۳

$$U(m) = \sum_{c:(k,l) \in R} \left[V_c(m, x_{kl}) + \frac{(z_{ij} - m)^2}{2\sigma^2} \right]$$

در معادله فوق $(x)U$ را تابع انرژی گیز می نامند و به صورت زیر تعریف می شود

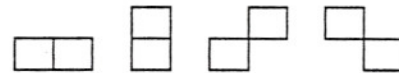
$$U(X) = \sum_{c \in C} V_c(X)$$

که در آن C مجموعه ای از کلیکها بر روی یک همسایگی محلی پیکسل (i,j) است. و c یک زوج کلیک است که با رابطه زیر تعریف می شود.

$$V_c(i,j) = \begin{cases} 1 & x_i = x_j \\ 0 & \text{otherwise} \end{cases}$$

این تابع اندازه می گیرد که آیا دو پیکسل داخل یک کلیک دارای سطح خاکستری پیکسان می باشند یا خیر. در این مقاله از همسایگی هشت تایی و کلیکهای مرتبه اول استفاده شده است.

د



کلیک مرتبه اول

با توجه به شکل بالا مقدار $U(a(i,j))$ به شرح زیر خواهد بود

$$U(a(i,j)) = V1(a(i,j), a(i,j+1)) + V1(a(i,j), a(i-1,j)) + V1(a(i,j), a(i-1,j+1)) + V1(a(i,j), a(i-1,j-1))$$

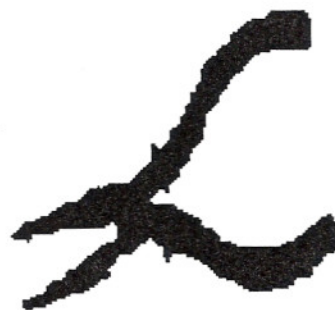
در حالت کلی می توان ضرائب $V(x)$ را متفاوت در نظر گرفت. مثلاً برای پیکسلهای عمودی و افقی ضریب بیشتر و برای پیکسلهای قطری ضریب کمتری اعمال نمود. همچنین می توان از کلیکهای مرتبه دوم و سوم استفاده کرد.

همانگونه که قبل اشاره شد برای بدست آوردن تخمین MAP از تصویر ، هدف جستجوی تخمینی از تصویر است که توزیع قبلی تصویر را در هر پیکسل ماکریزم کند. این هدف توسط مجموعه ای از اتماتاهای سلوی یادگیر فراهم می شود. مدل پیشنهادی برای حذف نویز در تصاویر با سطح خاکستری به شرح زیر عمل می کند.

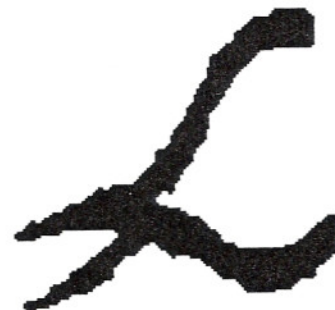
به ازای هر پیکسل یک اتمانا با M اقدام در نظر گرفته می شود. توزیع احتمال هر اتمانا بر روی اقدامهای خود برابر توزیع احتمال MAP در نظر گرفته شده و بردار احتمال اقدام هر اتماتای سلوی بر اساس این احتمال به روز در آورده می شود. در هر تکرار هر اتماتای سلوی یک اقدام از مجموعه اقدامهای خود را به صورت تصادفی انتخاب کرده و با توجه به این اقدام احتمال $P(X/Y)$ را محاسبه می نماید. سپس احتمال موفقیت این اقدام را برابر با احتمال $P(Y/X)$ در نظر می گیرد. برای کلیه آزمایشها انجام گرفته با CLA از اتماتا های با ساختار متغیر استفاده شده است، احتمال اولیه عملها در تصاویر سطح خاکستری برابر $M/1$ و

نتیجه گیری:

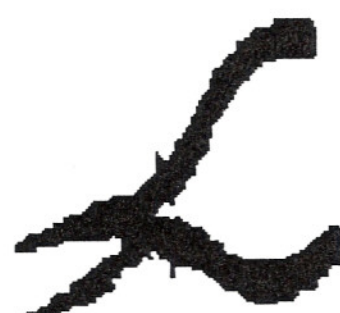
در این مقاله روش جدیدی بر اساس اتماتای یادگیر سلولی پیشنهاد شده است. این روش با توجه به اینکه سعی می کند هر پیکسل را به طرقی تغییر دهد که بیشترین شباهت را به همسایگان خود داشته باشد بنابر این در حذف نویز ضربه ای و نویز فلفل-نمکی در تصاویر دو سطحی کاملاً موفق عمل میکند. اما در تصاویر با تعداد سطوح خاکستری زیاد با افزایش تعداد اقدامها در اتماتای با ساختار متغیر بدلیل احتمال عدم همگرائی ممکن است از کارائی مطلوبی برخوردار نباشد. در این حالت اتماتای با ساختار ثابت کرایلوف بدلیل اینکه بر اساس حالت هر پیکسل و همسایگانش تصمیم گیری می کند رفتار خوبی از خود نان داده و از کارائی مطلوبی برخوردار است.



شکل ۸- حذف نویز با فیلتر Median



شکل ۹- حذف نویز با اتماتای سلولی یادگیر



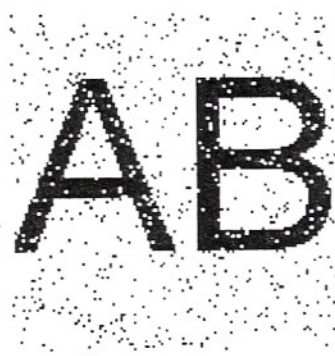
شکل ۵- تصویر اصلی دو سطحی



شکل ۱۰- تصویر اصلی دو سطحی



شکل ۶- تصویر دو سطحی با ۲۰٪ نویز فلفل-نمکی



شکل ۱۱- تصویر دو سطحی با ۲۰٪ نویز فلفل-نمکی



شکل ۷- حذف نویز با فیلتر مورفولوژی

AMIR
AMIR
AMIR

شکل ۱۶: تصویر با ۲۰٪ نویز نرمال

AB
AB

شکل ۱۲- حذف نویز با فیلتر مورفولوژی

AMIR
AMIR
AMIR

شکل ۱۷- حذف نویز با فیلتر مورفولوژی

AB
AB

شکل ۱۳- حذف نویز با فیلتر Median

AMIR
AMIR
AMIR

شکل ۱۸- حذف نویز با فیلتر میانه

AB
AB

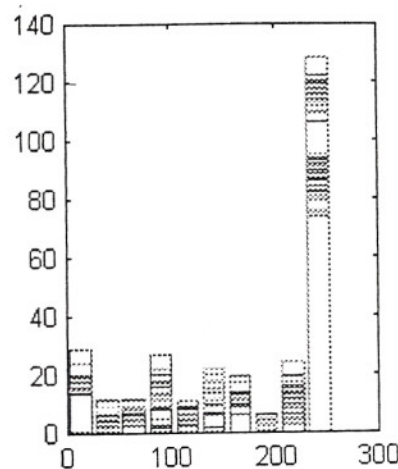
شکل ۱۴- حذف نویز با اتماتای سلوی یادگیر

AMIR
AMIR
AMIR

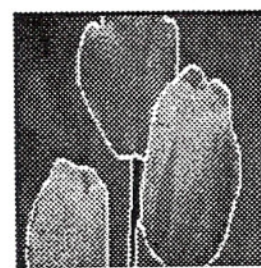
شکل ۱۹- حذف نویز با اتماتای یادگیر سلوی

AMIR
AMIR
AMIR

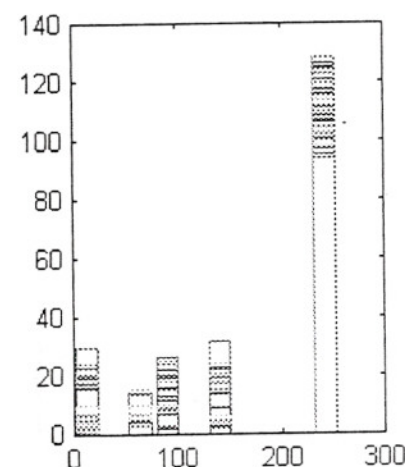
شکل ۱۵: - تصویر اصلی با ۴٪ سطح خاکستری



شکل ۲۵: هیستوگرام تصویر رشماره ۱۵ با نویز



شکل ۲۰: تصویر اصلی با ۲۵۶ سطح خاکستری



شکل ۲۱: تصویر با ۲۰٪ نویز نرمال

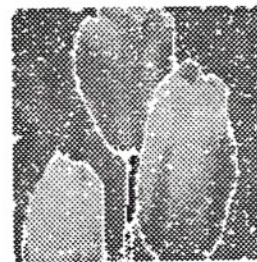


شکل ۲۲: تصویر با حذف نویز با اتوماتای کرایلف

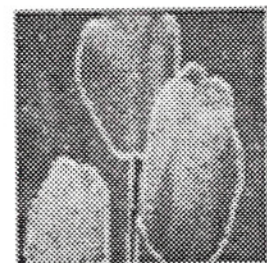
شکل ۲۶: هیستوگرام تصویر پس از حذف نویز با اتوماتای سلوی
یادگیر

مراجع

- [Gonz95] R.C Gonzales and R.E Woods, "Digital Image Processing ", Addison Wesley , 1995.
- [Chou94] Chou, K.C., willsky, A.S. and Benveniste, A., "Multiscale Recursive estimation, Data Fusion and regularization", IEEE Trans. Automatic Control vol. 39 1994.
- [Gema84] Geman, S. Geman, D. "Stochastic Relaxation, Gibbs Distributions, and the Bayesian Restoration of Images", IEEE Trans. Pattern Analysis and Machine Intelligence, vol. 6 1984.
- [Gema92] Geman, D. and Reynolds G. "Constrained Restoration and the Recover of Discontinuities," IEEE Trans. Pattern Analysis and Machine Intelligence, vol. 14, pp 367-383 1992.
- [Hurn96] Hurn, M. and Jennison, C. "An Extention of Geman and Rynolds' Approach to Constrained Restoration and the Recovery of Discontinuities", IEEE Trans. Pattern Analysis and Machine



شکل ۲۳- حذف نویز با فیلتر مورفولوژی



شکل ۲۴- حذف نویز با فیلتر میانه

- [Besa86] J. Besag, "On the staatisticalnalysis of dirty pictures" , Jornal of royal statistical society B, vol. 48: pp. 259-302, 1986.
- [Wolf86] Wolfrom, S., "Theory and Application of Cellular Automata", Singapore: World Scientific Publishing Co. Pte. Ltd., 1986.
- [Pres79] Preston, K., Duff, M.J.B., Levialdi, S., Norgren, P.F., and Toriwaki, J.I., "Basics of Cellular Logic with Some Application in Medical Processing", Proceedings of the IEEE, Vol. 67, No 5, 1979.
- [Laks81] Lakshmivarahan, S., "Learning Algorithms: Theory and Applications", New York, Springer Verlag, 1981.
- [Mars96] Mars, P., Chen, J.R. and Nambir, R., "Learning Algorithms: Theory and Applications in Signal Processing, Control and Communications", CRC Press, Inc., pp. 5-24, 1996.
- [Meyb82] Meybodi, M.R. and Lakshmivarahan, S., " ε - Optimality of a General Class of Absorbing Barrier Learning Algorithms", Information Sciences, Vol. 28, pp. 1-20, 1982.
- [Meyb84] Meybodi, M.R. and Lakshmivarahan, S., "On a Class of Learning Algorithms which have a Symmetric Behavior under Success and Failure", Springer Verlag Lecture Notes in Statistics, pp. 145-155, 1984.
- [Meyb2000] Meybodi, M.R., Beigy, H., and Taherkhani, M., "Cellular Learning Automata and Its Application", Technical Report, Computer Eng. Dept., Amirkabir University of Technology, Tehran, Iran, March 2000.
- [Mitc96] Mitchell, M., "Computation in Cellular Automata: A Selected Review", Technical Report, Santa Fe Institute, Santa Fe, U.S.A., 1996.
- [Nare89] Narendra, K.S. and Thathachar, M.A.L., "Learning Automata: An Introduction", Prentice Hall, Inc., 1989.
- [Pres71] Preston, K.JR., "Feature Extraction by Golay Hexagonal Pattern Transformations", IEEE Trans. Comput., Vol. C-20, pp. 1007-1014, 1979.
- [Saho94] Sahota, P., Daemi, M.F. and Elliman, D.G., "Training Genetically Evolving Cellular Automata for Image Processing", International Symposium on Speech, Image Processing and Neural Networks, 1994.
- [Tahr2000] Taherkhani, M., "Proposing and Studying of Cellular Learning Automata as a Tool for Modeling Systems", M.Sc. Thesis, Computer Eng. Dept., Amirkabir University of Technology, Tehran, Iran, 2000.
- [Zhao89] Zhao Y. , Anderson L. S. , "Pattern Estimation and Restoration of Noisy Images Using Gibbs Distributions In Hidden Markov Models" IEEE 1989.
- [Pita86] Pitas Land Venetsanopoulos, " Nonlinear Order Statics Filters for Image Filtering and Edge Detection" Signal Processing, vol. 10, No.4, 1986.



Birjand University

Proceedings of

*The First Iranian Conference
on Machine Vision &
Image Processing*



7-9 March 2001

University of Birjand

Edited By: Kh. Khalili

دیده‌گاه مهالات

اولین کنفرانس ماشین بینایی

و

پردازش تصویر ایران



۱۷ - ۱۹ آسفندماه ۱۳۷۹

دانشگاه بیرجند